

# ПРЕОБРАЗОВАТЕЛЬНАЯ ТЕХНИКА

УДК 62 - 83:681.51(075.8)

## АДАПТИВНАЯ СИСТЕМА СИНХРОНИЗАЦИИ ТРЕХФАЗНОГО МОСТОВОГО РЕВЕРСИВНОГО ТИРИСТОРНОГО ПРЕОБРАЗОВАТЕЛЯ

**Л.И. Цытович, А.В. Качалов, М.М. Дудкин, Р.М. Рахматулин**  
г. Челябинск, ЮУрГУ

## THE DECISION OF THE TASK OF STRUCTURAL IDENTIFICATION OF MATHEMATICAL MODEL OF HEATING INSTALLATION

**L.I. Tsitovich, A.V. Kachalov, M.M. Dudkin, R.M. Rakhmatulin**  
Chelyabinsk, SUSU

Рассмотрен принцип построения адаптивного к нестабильности напряжения сети канала синхронизации тиристорного преобразователя. Приведены результаты его моделирования в пакете MatLab + Simulink и дана оценка характеристик адаптивного и традиционного принципов синхронизации.

**Ключевые слова:** тиристорный преобразователь, системы управления, устройство синхронизации, адаптация.

The article considers the aufbau principle of thyristor-based converter's synchronizing channel adaptive to line voltage instability. The results of its simulation the in Matlab + Simulink system are given, characteristics of adaptive and traditional principles of syncronisation are estimated.

**Keywords:** thyristor-based converter, control systems, synchronisation device, adaptation.

Современные энергосистемы как стационарного, так и автономного базирования характеризуются высоким уровнем искажений с трудно предсказуемыми параметрами, зачастую выходящими за допустимые нормы искажений и играющими роль дестабилизирующих факторов в работе не только тиристорных преобразователей (ТП), но и технологических установок в целом. Поэтому создание систем управления ТП, способных адаптироваться к изменяющимся параметрам сети, является актуальной задачей, направленной на повышение надежности работы всего комплекса электротехнического оборудования промышленных предприятий.

В синхронных системах управления ТП (рис. 1) [1], характеризующихся наиболее высоким быстродействием, каждый из каналов систем импульсно-фазового управления (СИФУ) синхронизирован с соответствующей фазой А, В, С напряжения сети через устройства синхронизации УС-А, УС-В, УС-С, которые формируют сигналы логической «1» на интервале времени, где соответствующий тиристор блока силовых вентилей (БСВ) может быть переведен в открытое состояние.

Для этих целей зачастую используются схемы регенеративных компараторов (рис. 2, а) [2] на основе линейного звена ЛЗ с высоким значением собственного коэффициента усиления и резистивными звенями  $K_{ВХ}, K_{ОС}$  на входе и в цепи положительной обратной связи. Ширина петли гистерезиса УС (рис. 2, б) определяется соотношением резисторов  $R1, R2$  (рис. 2, в) и амплитудой  $\pm A$  выходных импульсов (ЛЗ) (напряжением источника электропитания, в качестве которого традиционно используется стабилизатор напряжения (СН)).

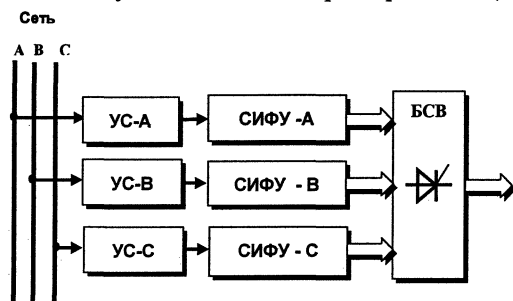


Рис. 1. Функциональная схема синхронной системы управления ТП

## Преобразовательная техника

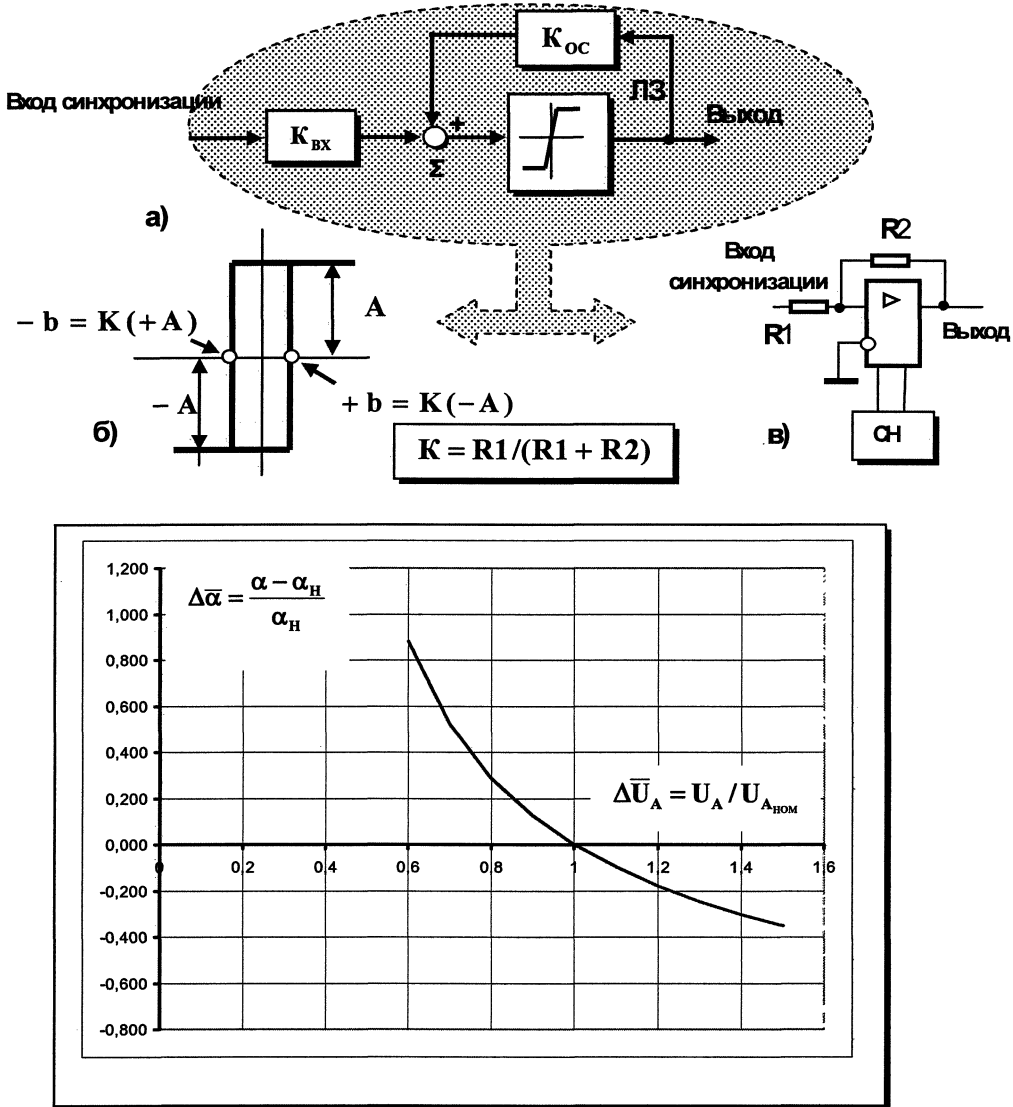


Рис. 2. Обобщенная структурная схема (а), характеристика «вход-выход» (б), пример технической реализации (в) и график погрешности (г) компараторного устройства синхронизации с независимым уровнем фиксации

Ширина петли гистерезиса УС  $\pm b$  (см. рис. 2, б) настраивается таким образом, чтобы передний и задний фронты импульса синхронизации совпадали с точками естественной коммутации, в пределах которых разрешается работа соответствующих вентилей БСВ (см. рис. 1).

На рис. 2, г приведен график зависимости  $\Delta \bar{\alpha} = f(\Delta \bar{U}_A)$ , полученный в результате моделирования процессов в синхронном реверсивном мостовом тиристорном преобразователе (см. рис. 1) в среде MatLab + Simulink при нестабильности напряжения сети. Здесь:  $\Delta \bar{\alpha} = (\alpha - \alpha_H)/\alpha_H$  – нормированная ошибка угла синхронизации  $\alpha$  при его начальном заданном значении  $\alpha_H = 30$  эл. град;  $\Delta \bar{U}_A = U_A/U_{A_{\text{ном}}}$  – относительная нестабильность амплитуды  $U_A$  напряжения сети при ее nominalном значении  $U_{A_{\text{ном}}}$ .

Для этих целей зачастую используются схемы регенеративных компараторов (рис. 2, а) [2] на основе линейного звена ЛЗ с высоким значением собственного коэффициента усиления и резистивными звенями  $K_{\text{вх}}$ ,  $K_{\text{ос}}$  на входе и в цепи положительной обратной связи.

Ширина петли гистерезиса УС (см. рис. 2, б) определяется соотношением резисторов  $R_1$ ,  $R_2$  (см. рис. 2, в) и амплитудой  $\pm A$  выходных импульсов ЛЗ (напряжением источника электропитания, в качестве которого традиционно используется стабилизатор напряжения СН).

Полученные результаты свидетельствуют о том, что применение компараторных УС с постоянным уровнем фиксации синхронизирующего сигнала затруднительно в энергосистемах с неста-

ционарной амплитудой напряжения сети. Так, при отклонениях напряжения фазы A (рис. 2, г) в пределах  $\pm 10\%$  ошибка  $\Delta\bar{\alpha}$  начального угла синхронизации также будет находиться в области  $\pm 10\%$ , что приведет к значительным искажениям характеристик ТП.

Частично проблемы ТП, связанные с нестабильностью амплитуды сети, могут быть решены путем использования адаптивного компараторного УС (рис. 3, а) [3], которое отличается от традиционной схемы (см. рис. 2, а) наличием демодулятора ДМ  $n$ -фазной системы синхронизирующих сигналов  $X_{C1}, X_{C2} \dots X_{Ci}$ , амплитудного модулятора

AM и сглаживающего фильтра Ф, например первого порядка.

Наличие последнего в структуре УС необходимо только в случае  $n=1$ . В результате характеристика «вход-выход» УС (рис. 3, б) оказывается нестационарной во времени и изменяется в зависимости от параметров системы синхронизирующих воздействий. На практике подобная структура УС может быть реализована, например, на операционном усилителе с питанием от нестабилизированного выпрямленного напряжения с выхода трехфазного «нулевого» выпрямителя (рис. 3, в). Рассмотрим подробнее режимы работы подобного устройства.

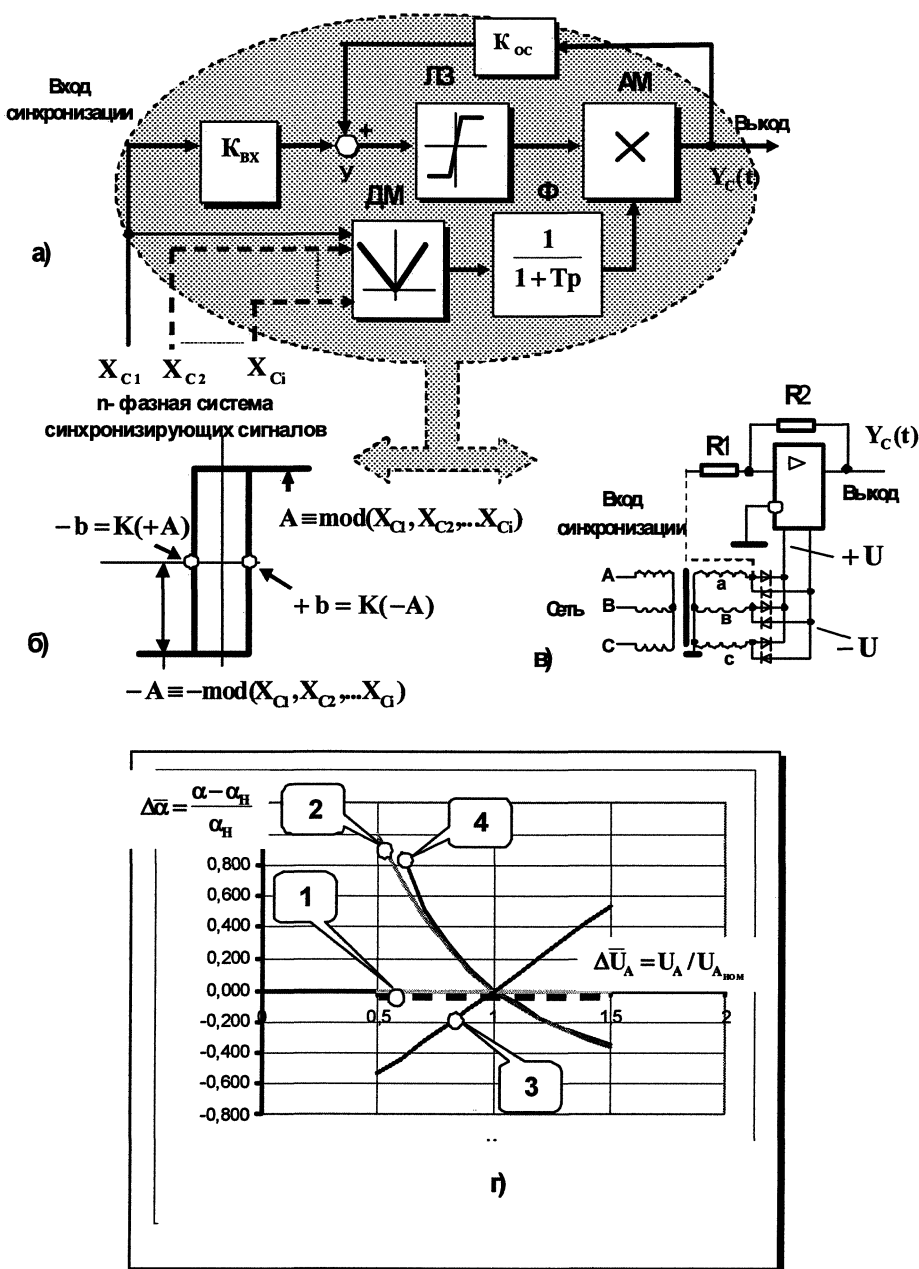


Рис. 3. Обобщенная структурная схема (а), характеристика «вход-выход» (б), пример технической реализации (в) и графики погрешности (г) адаптивного устройства синхронизации с зависимым уровнем фиксации синхронизирующего воздействия

## Преобразовательная техника

В результате демодуляции трехфазной системы напряжений  $a, b, c$  формируются напряжения постоянного знака  $+U$  и  $-U$  (рис. 4, а), которые определяют закон изменения вершины импульсов на выходе компаратора и, следовательно, характер его порогов переключения. При этом  $+U$  формирует порог фиксации  $-b(t)$ , а напряжение  $-U$  – пороговый уровень  $+b(t)$  (рис. 4, б). Во времени каждый из пороговых уровней  $\pm b(t)$  включает в себя периодическую пульсирующую составляющую фаз  $a, b, c$  (рис. 4, б). Путем соответствующего подбора амплитуды, например фазы  $a$  обеспечивается переключение УС в точках 1 и 2 (рис. 4, а, б, моменты времени  $t_1$  и  $t_2$  соответственно).

В результате на выходе УС формируется импульсный сигнал  $Y_C(t)$  (рис. 4, в, г) с пульсирую-

щей амплитудой. При синхронном изменении амплитуды фаз напряжения сети (например, увеличении на  $\Delta A$ , рис. 4, б) происходит пропорциональный рост порогов фиксации  $\pm b(t)$  до уровня  $\pm b(t) \pm \Delta b$ . В результате точки фиксации 1 и 2 перемещаются вертикально в положения 1-1 и 2-2 соответственно (рис. 4, б), однако моменты времени  $t_1$  и  $t_2$  переключения УС сохраняются неизменными. При этом ошибка синхронизации полностью отсутствует как при увеличении, так и при уменьшении амплитуды фаз напряжения сети (см. рис. 3, г, зависимость 1).

При этом схема системы синхронизации ТП (рис. 5) отличается от традиционной (см. рис. 1) тем, что в формировании сигнала синхронизации по каждому из каналов принимают участие две фазы напряжения сети. Так для канала фазы  $A$  синхронизирующим воздействием является

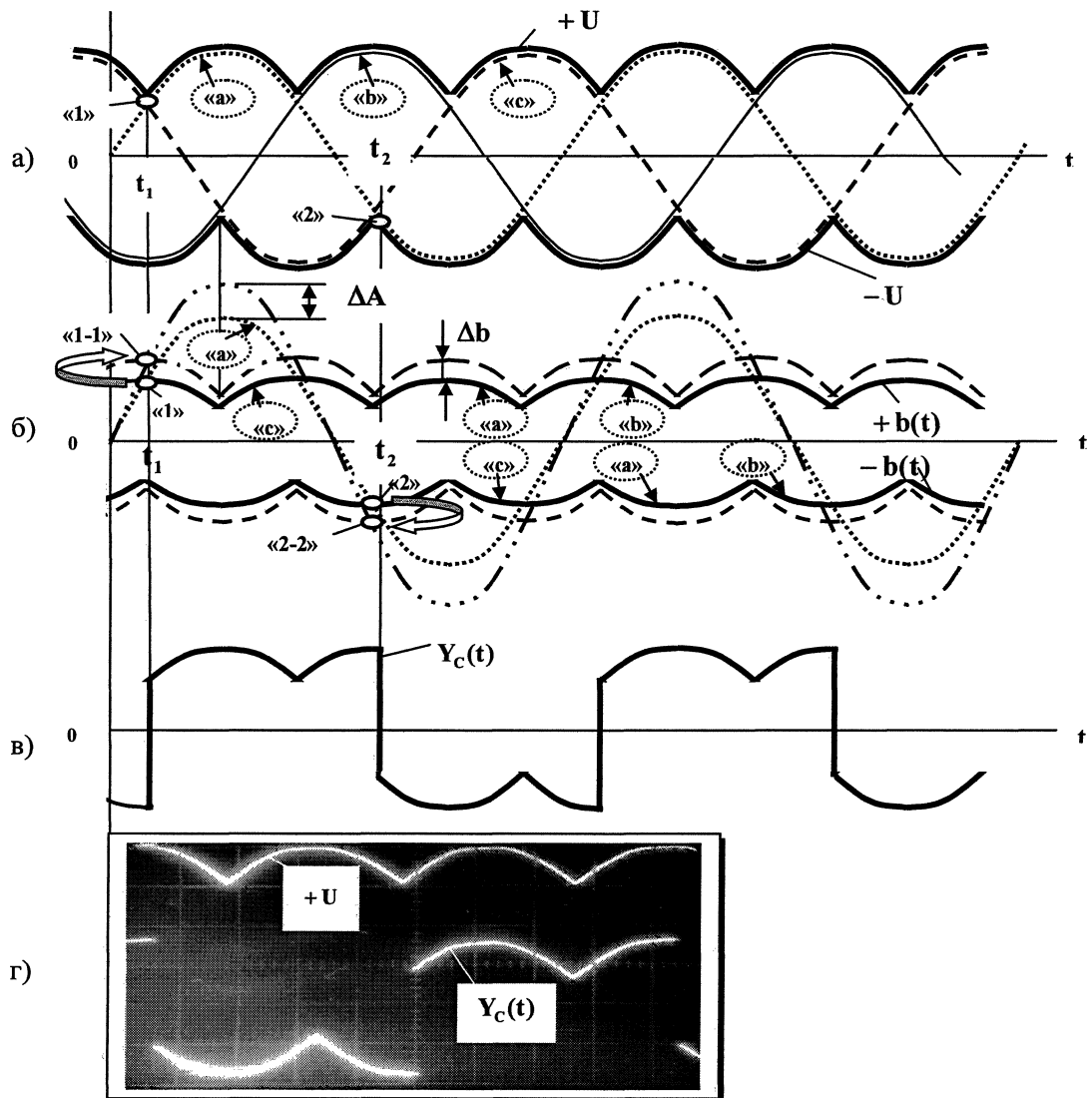


Рис. 4. Временные диаграммы сигналов (а, б, в) и осциллограмма (г) адаптивного устройства синхронизации при симметричной нестабильности фазных напряжений

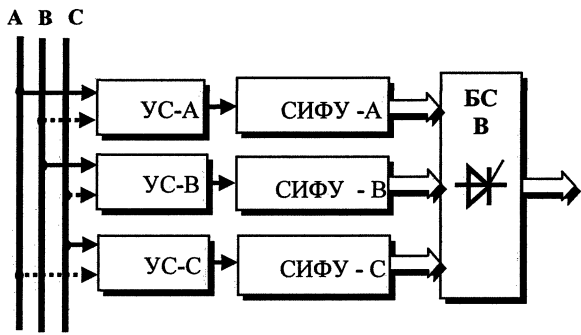


Рис. 5. Функциональная схема адаптивной синхронной системы управления ТП

непосредственно фаза *A*, а уровень фиксации определяется фазой *B*. Для канала фазы *B* уровень фиксации зависит от состояния фазы *C*, а в канале управления фазы *C* пороговый уровень диктуется фазой *A*.

Подобное положение отрицательно сказывается при работе ТП в случае асимметричного изменения амплитуд напряжений фаз сети.

Предположим, что на величину  $\Delta A$  умень-

шилась амплитуда фазы *b* (рис. 6 а). Это влечет за собой смещение уровня фиксации компаратора для сигнала синхронизации фазы *a* (рис. 6 б), в результате чего точки 1 и 2 перемещаются в положения 1-1 и 2-2 соответственно как по горизонтальной, так по вертикальной осям. При этом появляется ошибка синхронизации  $\Delta\alpha$  в фазе, амплитудное значение которой соответствует номинальному уровню. Аналогичная ошибка, только с противоположным знаком, будет и в случае, когда на величину  $\Delta A$  изменилась амплитуда фазы *a*, а фаза *b* осталась неизменной (рис. 6 в).

На рис. 3 г приведены результаты моделирования ТП при асимметрии фазных напряжений (зависимости 2, 3), когда только фаза *a* имеет нестабильную амплитуду.

В этом случае погрешность синхронизации в канале управления фазы *a* изменяется по кривой 2, а в фазе *c* соответствует зависимости 3 (кривая 4 соответствует схеме УС на рис. 2 а). Одновременно с этим для фазы *b*  $\Delta\bar{\alpha} = 0$ , так как работа ее канала синхронизации зависит от фаз *b* и *c*, которые в данном случае имеют номинальное значение.

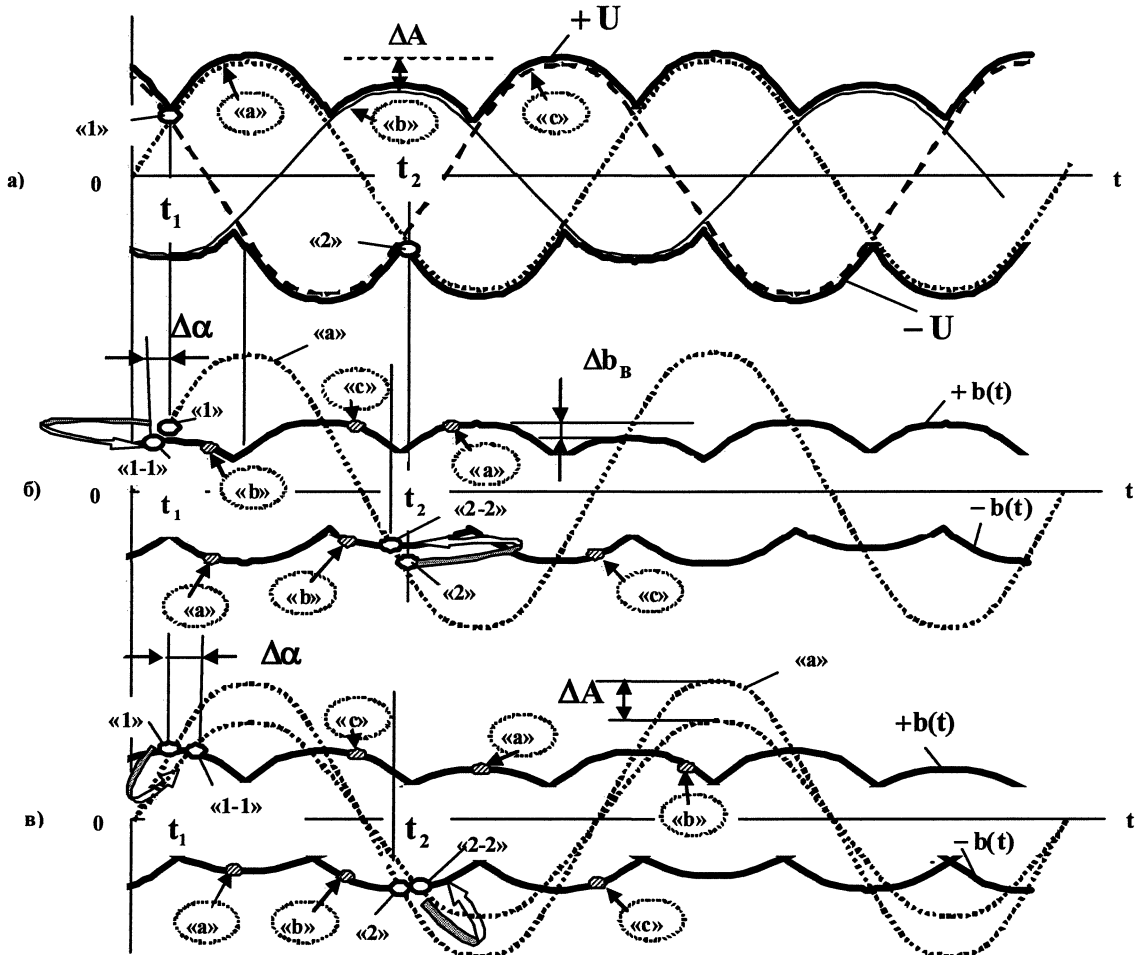


Рис. 6. Временные диаграммы сигналов адаптивного устройства синхронизации при нестабильности амплитуды фазы *b* и *a*

ние. Обращает на себя внимание тот фактор, что  $\Delta\alpha$  для  $a$  и  $c$  (рис. 3, г, кривые 2, 3) изменяется в противоположных по знаку направлениях, что при определенных схемотехнических решениях в СИФУ и режимах работы ТП может вызвать эффект взаимной компенсации этих ошибок.

В любом случае рассмотренную адаптивную систему синхронизации ТП целесообразно рекомендовать к применению на объектах, где подавляющая доля результирующей нагрузки приходится на трехфазные потребители, когда наблюдается симметричная нестабильность по всем фазам одновременно.

## Литература

1. Управление вентильными электроприводами постоянного тока / Е.Д. Лебедев, В.Е. Неймарк, М.Я. Пистрак, О.В. Слежановский – М.: Энергия, 1970.
2. Волович, Г.И. Схемотехника аналоговых и аналогово-цифровых электронных устройств / Г.И. Волович. – М.: ИД «Додэка-XXI», 2005.
3. А.с. 1731014 СССР, Н02М7/155. Система импульсно-фазового управления / Л.И. Цытович, В.Г. Маурер, Р.М. Рахматулин. – № 4804663/07; заявлено 20.03.90; опубл. 15.04.92, Бюл. № 12.

*Поступила в редакцию 20.01.2009 г.*

**Цытович Леонид Игнатьевич** – д-р техн. наук, профессор, зав. кафедрой электропривода Южно-Уральского государственного университета. Область научных интересов: информационно-измерительные устройства и комплексы систем управления технологическими процессами.

Контактный телефон: 8-(351) 267-93-85.

**Tsitovich Leonid Ignatievich** – Doctor of technical science, Professor, Head of the Electric Drive department of South Ural State University, Chelyabinsk. Scientific interests: informational and measuring devices and complexes of control systems.

Contact phone: 8-(351) 267-93-85.

**Качалов Андрей Валентинович** – аспирант кафедры электропривода Южно-Уральского государственного университета. Область научных интересов: системы управления электроприводов и технологических установок.

Контактный телефон: 8-(351) 267-94-32.

**Kachalov Andrey Valentinovich** – post-graduate student of the Electric Drive department of South Ural State University, Chelyabinsk. Scientific interests: control systems of electrical drives and installations.

Contact phone: 8-(351) 267-94-32.

**Дудкин Максим Михайлович** – кандидат технических наук, доцент кафедры электропривода Южно-Уральского государственного университета. Область научных интересов: элементы и устройства систем управления силовыми вентильными преобразователями.

Контактный телефон: 8-(351) 267-93-21.

**Dudkin Maxim Mihailovich** – candidate for a scientific degree in technical sciences, associate professor of the Electric Drive department of South Ural State University, Chelyabinsk. Scientific interests: elements and devices of control systems of power converters.

Contact phone: 8-(351) 267-93-21.

**Рахматулин Раис Мухибович** – ведущий инженер кафедры электропривода Южно-Уральского государственного университета. Область научных интересов: элементы и устройства систем управления промышленными объектами.

Контактный телефон: 8-(351) 267-91-05.

**Rakhmatulin Rais Mukhibovich**, leading engineer of the Electric Drive department of South Ural State University, Chelyabinsk. Scientific interests: elements and devices of control systems of industrial installations.

Contact phone: 8-(351) 267-91-05.